

Fizička veličina koja opisuje stepen, odnosno meru naelektrisanosti nekog tela, zove se **količina elektriciteta, količina naelektrisanja, ili električno opterećenje**. Količina elektriciteta je skalarna, algebarska veličina, čija numerička vrednost govori, ili o višku, ili o manjku elektrona na nekom telu i označava se sa  $Q$  kada je vremenski konstantna, a sa  $q$  ako je vremenski promenljiva. Jedinica za količinu elektriciteta je *Kulon* [C]. Danas je poznato da je svaka količina elektriciteta celobrojni umnožak *elementarne količine elektriciteta*, koja se zove *električni kvant* i brojčano je jednaka modulu naelektrisanja elektrona  $|e|$ , a samo naelektrisanje elektrona je negativno i iznosi  $e \approx -1,602 \cdot 10^{-19}$  [C].

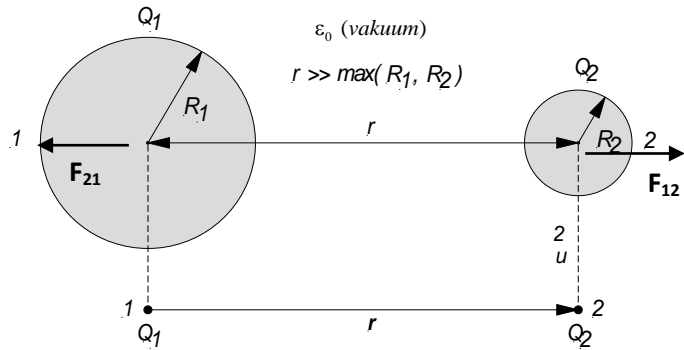
Sva tela se mogu nealektrisati na jedan od sledeća dva načina:

- *Dodirom (trenjem)*
- *Elektrostatičkom indukcijom.*

**Zakon o konzervaciji elektriciteta:** Algebarska suma pozitivnih i negativnih naelektrisanja u prirodi je nepromenljiva. Elektricitet u prirodi nije moguće trajno niti stvoriti, a ni uništiti, već se on jedino može razdvajati u okviru tela i premeštati sa jednog tela na drugo.

**Tačkasta ili punktualna naelektrisanja su naelektrisana tela čije su dimenzije mnogo manje od rastojanja između njih.**

**Kulonov zakon:** Ako se punktualna naelektrisanja  $Q_1$  i  $Q_2$  nalaze u vakuumu i ako je vektor položaja drugog naelektrisanja u odnosu na prvo  $\mathbf{r}_{12} = \mathbf{r}$ , tada se sile mehaničkog dejstva  $\mathbf{F}_{12}$  i  $\mathbf{F}_{21}$  mogu predstaviti sledećim relacijama:



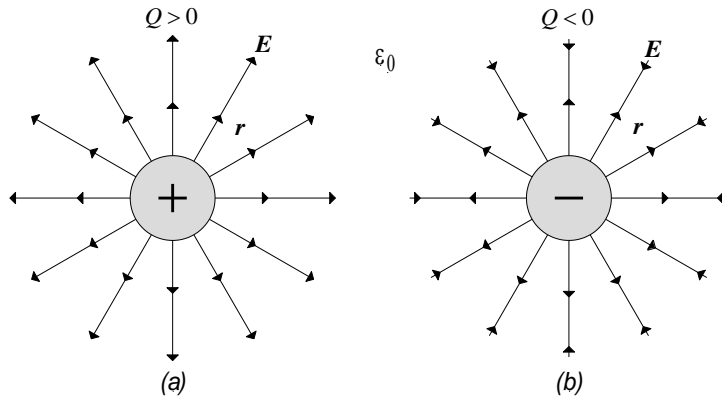
$$\mathbf{F}_{12} = \frac{Q_1 \cdot Q_2}{4\pi\epsilon_0 r^2} \cdot \mathbf{r}_{012}, \quad \mathbf{F}_{12} = -\mathbf{F}_{21}, \quad r = |\mathbf{r}|, \quad \mathbf{r}_{012} \text{ je jedinični, ort vektor } \mathbf{r}_{012} = \frac{\mathbf{r}_{12}}{|\mathbf{r}_{12}|}.$$

Permitivnost vakuuma (a približno i vazduha kao dielektrika) iznosi  $\epsilon_0 \approx 10^{-9}/(36\pi)$  [ $C^2/(Nm^2)$ ].

**Vektor jačine elektrostatičkog, odnosno električnog polja  $E$  u nekoj tački u prostoru definisan je količnikom vektora elektrostatičke (Kulonove) sile  $\mathbf{F}$  koja deluje na uneto malo (probno) pozitivno punktualno naelektrisanje  $\Delta Q$  ( $\Delta Q \neq 0$ ) i samog naelektrisanja  $Q$ :**

$$\mathbf{E} = \frac{\mathbf{F}}{\Delta Q} .$$

Posmatrajmo sada usamljeno punktualno naelektrisanje  $Q$  u vakuumu. Tada su vektor jačine električnog polja  $\mathbf{E}$  i njegov intenzitet  $E$ , određeni izrazima:



$$\mathbf{E} = \frac{\mathbf{F}}{\Delta Q} = \frac{Q}{4\pi\epsilon_0 r^2} \cdot \mathbf{r}_0, \quad E = |\mathbf{E}| = \frac{|Q|}{4\pi\epsilon_0 r^2}, \quad r = |\mathbf{r}|.$$

Raspodela naelektrisanja u prirodi:

- površinska gustina naelektrisanja:  $\sigma = dQ/dS$
- zapreminska gustina naelektrisanja:  $\rho = dQ/dV$
- podužna gustina naelektrisanja:  $Q' = dQ/dl$

**Električni potencijal** bilo koje tačke A u električnom polju  $\mathbf{E}$  u odnosu na referentnu tačku R je relativna, skalarna fizička veličina, definisana na sledeći način:

$$V_A = \int_A^R \mathbf{E} \cdot d\mathbf{l} \quad \leftarrow \text{po bilo kojoj putanji integracije !}$$

Referentna tačka sistema R, ili tačka nultog potencijala, može se izabrati proizvoljno, ali se u velikom broju praktičnih slučajeva referentna tačka nalazi u beskonačnosti (tj.  $R \rightarrow \infty$ ):

$$V_A = \int_A^\infty \mathbf{E} \cdot d\mathbf{l} \quad \leftarrow \text{(po bilo kojoj putanji integracije).}$$

**Električni napon  $U_{AB}$**  između tačaka A i B u polju definiše se kao razlika potencijala tih tačaka. Napon je *apsolutna, algebarska, fizička veličina* i njegova jedinica je kao za potencijal [V]-Volt:

$$U_{AB} = V_A - V_B = \int_A^R \mathbf{E} \cdot d\mathbf{l} - \int_B^R \mathbf{E} \cdot d\mathbf{l} = \int_A^R \mathbf{E} \cdot d\mathbf{l} + \int_R^B \mathbf{E} \cdot d\mathbf{l} = \int_A^B \mathbf{E} \cdot d\mathbf{l}, \quad U_{AB} = -U_{BA}.$$

Putanja integracije u prethodnoj relaciji je proizvoljna.

Potencijal tačke X u električnom polju usamljenog punktualnog naelektrisanja Q u vakuumu:

$$V_X = \int_X^\infty \mathbf{E} \cdot d\mathbf{l} = \int_X^\infty \frac{Q}{4\pi\epsilon_0 r^2} \cdot \mathbf{r}_0 \cdot d\mathbf{l} = \frac{Q}{4\pi\epsilon_0} \cdot \int_X^\infty \frac{d\mathbf{l} \cdot \cos\angle(\mathbf{r}_0, d\mathbf{l})}{r^2} = \frac{Q}{4\pi\epsilon_0} \cdot \int_{r_X}^\infty \frac{dr}{r^2} = \frac{Q}{4\pi\epsilon_0} \cdot \frac{1}{r_X}$$

Elektrostatičko polje je konzervativno fizičko polje, pa je rad A Kulonovih sila  $\mathbf{F}$  pri jednom obrtu unetog probnog punktualnog naelektrisanja  $\Delta Q$ , po proizvoljno odabranoj konturi C u polju, jednak nuli:

$$A = \oint \mathbf{F} \cdot d\mathbf{l} = \Delta Q \oint \mathbf{E} \cdot d\mathbf{l} = 0, \quad (\mathbf{F} = \Delta Q \cdot \mathbf{E}).$$

Rad pri premeštanju količine naelektrisanja Q iz tačke A u tačku B u električnom polju je:

$$A = \int_A^B \mathbf{F} \cdot d\mathbf{l} = Q \cdot \int_A^B \mathbf{E} \cdot d\mathbf{l} = Q \cdot U_{AB} = Q \cdot (V_A - V_B),$$

ako je  $A>0$  sile polja vrše rad,

ako je  $A<0$  rad vrše strane sile protiv sile polja.

**1. Zadatak:** Tri mala tela, nanelektrisana  $Q_1 = Q_2 = 10^{-10}[\text{C}]$  i  $Q_3 = -20 \cdot 10^{-10}[\text{C}]$ , nalaze se u vazduhu, u temenima jednakostraničnog trougla stranice  $a=1[\text{cm}]$ . Odrediti vektor jačine elektrostatičke sile koja deluje na telo nanelektrisanja  $Q_3$ .

**2. Zadatak:** Dva punktualna nanelektrisana  $Q_1 = 1.2[\text{pC}]$  i  $Q_2 = -2.844[\text{pC}]$  nalaze se na rastojanju  $d = 5[\text{cm}]$ . Odrediti vektor jačine elektrostatičkog polja  $\mathbf{E}$  u tački A koja se nalazi na rastojanju  $r_1=3[\text{cm}]$  od  $Q_1$  i  $r_2=4[\text{cm}]$  od  $Q_2$ .

**3. Zadatak:** Tanka kružna provodna kontura poluprečnika  $a$  ravnomerno je nanelektrisana nanelektrisanjem poduzne gustine  $Q'$  i nalazi se u vazduhu. Odrediti potencijal i vektor jačine električnog polja  $\mathbf{E}$  u tačkama na osi konture.

**Rešenje:**

Posmatrajmo elementarni delić konture dužine  $dl$  koji je nanelektrisan količinom nanelektrisanja  $Q'dl$ . Odredimo elementarni potencijal  $dV_A$  u tački A na x-osi koji stvara ovaj mali delić konture.

Rastojanje  $r$  tačke A od delića konture mnogo je veće od dimenzije samog delića  $dl$ , pa se može smatrati da se tačka A nalazi u polju tačkastog nanelektrisanja  $Q'dl$ . Za referentnu tačku u beskonačnosti, elementarni potencijal tačke A iznosi:

$$dV_A = \frac{Q'dl}{4\pi\epsilon_0 r}.$$

Kako je  $dl = ad\alpha$ , gde je  $d\alpha$  elementarni ugao pod kojim se element  $dl$  „vidi“ iz centra konture i

$$r = \sqrt{x^2 + a^2}, \text{ to je } dV_A = \frac{Q'ad\alpha}{4\pi\epsilon_0\sqrt{(a^2 + x^2)}}.$$

Ukupan potencijal tačke A u polju nanelektrisane kružne konture dobija se sabiranjem, tj. integracijom svih elementarnih doprinosa duž konture. Integraciju je pogodno izvršiti po uglu  $\alpha$ :

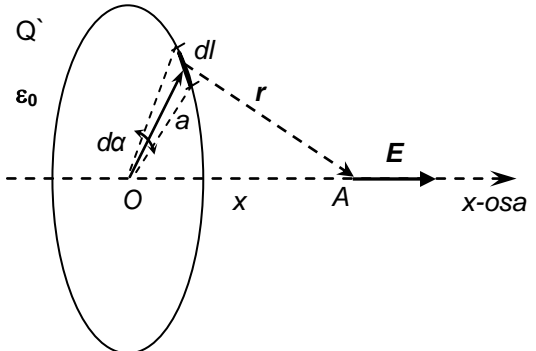
$$V_A = \int_0^{2\pi} \frac{Q'ad\alpha}{4\pi\epsilon_0\sqrt{(a^2 + x^2)}} = \frac{Q'a}{4\pi\epsilon_0\sqrt{(a^2 + x^2)}} \int_0^{2\pi} d\alpha = \frac{Q'a}{4\pi\epsilon_0\sqrt{(a^2 + x^2)}} \cdot 2\pi = \frac{Q'a}{2\epsilon_0\sqrt{(a^2 + x^2)}}.$$

Tačka A naravno može biti bilo koja tačka na x-osi, pa se za potencijal tačaka na osi konture dobija:

$$V(x) = \frac{Q'a}{2\epsilon_0\sqrt{(a^2 + x^2)}}.$$

Primetimo da je potencijal skalarna veličina i da opada sa udaljavanjem od centra konture.

Vektor jačine električnog polja možemo sada jednostavno odrediti kao prvi izvod potencijala polja po promenljivoj koordinati:

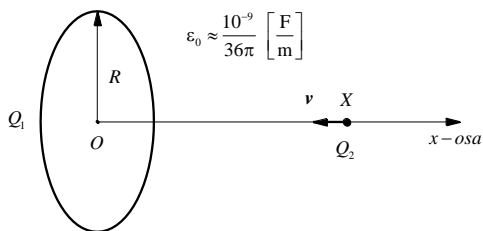


$\mathbf{E}(x) = -\frac{dV(x)}{dx} \mathbf{x}_0$ , gde je  $\mathbf{x}_0$  jedinični vektor x-ose. Diferenciranjem se dobija:

$$\mathbf{E}(x) = -\frac{dV(x)}{dx} \mathbf{x}_0 = -\frac{Qa}{2\epsilon_0} \frac{d}{dx} \left[ \frac{1}{\sqrt{(a^2 + x^2)}} \right] \cdot \mathbf{x}_0 = \frac{Qax}{2\epsilon_0(a^2 + x^2)^{3/2}} \cdot \mathbf{x}_0.$$

Zbog simetrije jačina električnog polja u centru nelektrisane konture je 0.

**4. Zadatak:** Vrlo tanak i usamljen metalni prsten poluprečnika  $R$  nalazi se u vakuumu i ravnomerno je nanelektrisan količinom elektriciteta  $Q_1$ . Iz veoma udaljene tačke  $X$  na x-osi (praktično na nultom potencijalu), pušteno je da iz mirovanja kreće punktualno nanelektrisanje  $Q_2$  mase  $m$ . Odrediti njegovu brzinu pri prolasku kroz centar prstena  $O$ . Usvojiti da je potencijal tačaka u beskonačnosti ravan nuli.



**Podaci:**  $Q_1=0.2[\text{nC}]$ ,  $Q_2= -0.1[\text{nC}]$ ,  $m=1.8[\text{g}]$  i  $R=20[\text{cm}]$ .

**Rešenje:**

Kako su nanelektrisanja prstena  $Q_1=+0.2[\text{nC}]$  i punktualnog nanelektrisanja  $Q_2= -0.1[\text{nC}]$  suprotnog znaka, to će pozitivno nanelektrisani prsten privlačiti negativno nanelektrisano malo telo mase  $m$ . Rad sile električnog polja se transformiše u povećanje kinetičke energije nanelektrisane čestice.

Na putu od veoma udaljene tačke  $X$  na x-osi, do centra konture sile električnog polja izvrše rad  $A=Q_2(V_X - V_0)$ , gde je  $V_X$  potencijal tačke  $X$ , a  $V_0$  potencijal centra prstena. Dalje je  $A=Q_2(V_X - V_0)=\frac{1}{2}m(v_0^2 - v_X^2)$ . Kako je  $V_X = 0$  i  $v_X = 0$  dobija se  $-Q_2V_0=\frac{1}{2}mv_0^2$ , gde je  $v_0$  brzina čestice pri prolasku kroz centar prstena. Rešavanjem se dobija:

$$v_0 = \sqrt{\frac{2|Q_2|V_0}{m}}. \text{ Koristeći se rešenjem prethodnog zadatka, } V(x) = \frac{Qa}{2\epsilon_0\sqrt{(a^2 + x^2)}}, \text{ za potencijal}$$

$$\text{centra prstena dobijamo } V(x=0) = \frac{Qa}{2\epsilon_0\sqrt{(a^2)}} = \frac{Q}{2\epsilon_0} = \frac{1}{2\epsilon_0} \frac{Q_1}{2\pi R}, \text{ jer je } a=R \text{ (poluprečnik prstena)}$$

$$Q' = \frac{Q_1}{2\pi R}. \text{ Zamenom konačno dobijamo:}$$

$$v_0 = \sqrt{\frac{2|Q_2|V_0}{m}} = \sqrt{\frac{2|Q_2|}{m} \frac{1}{2\epsilon_0} \frac{Q_1}{2\pi R}} = \sqrt{\frac{Q_1|Q_2|}{2\pi\epsilon_0 R m}}, v_0 = \sqrt{\frac{Q_1|Q_2|}{2\pi\epsilon_0 R m}} = 10^{-3}[\text{m/s}]$$

**5. Zadatak:** Četiri punktualna nanelektrisanja leže u temenima kvadrata dijagonale  $2a$ , kao na slici. Sredina je vakuum. Odrediti:

a) Potencijal električnog polja u centru kvadrata u odnosu na referentnu tačku u beskonačnosti.

**b)** Brzinu  $v$  koju u centru kvadrata ima mala uljna kapljica mase  $m$  i nanelektrisanja  $Q_2$ , koja dolazi iz beskonačnosti polazeći iz stanja mirovanja. Uticaj gravitacije zanemariti.

**c)** Odrediti Kulonovu силу  $\mathbf{F}$  koja deluje na uljnu kapljicu kada se ova nađe u centru kvadrata.

**Podaci:**  $Q_1 = -Q_2 = 0.1 \text{ [nC]}$ ,  $m = 0.4 \text{ [g]}$ ,  $a = 4.5 \text{ [cm]}$  i  $\epsilon_0 = 10^{-9} / 36\pi \text{ [F/m]}$ .

**Rešenje:**

**a)** Potencijal električnog polja u centru kvadrata možemo odrediti primenom principa superpozicije.

$$V_0 = V_0(Q_1) + V_0(2Q_1) + V_0(3Q_1) + V_0(4Q_1), \text{ gde su}$$

$$V_0(Q_1) = \frac{1}{4\pi\epsilon_0} \frac{Q_1}{a}, V_0(2Q_1) = \frac{1}{4\pi\epsilon_0} \frac{2Q_1}{a}, V_0(3Q_1) = \frac{1}{4\pi\epsilon_0} \frac{3Q_1}{a} \text{ i } V_0(4Q_1) = \frac{1}{4\pi\epsilon_0} \frac{4Q_1}{a} \text{ potencijali tačke}$$

$O$  u poljima svakog od punktualnih nanelektrisanja u temenima kvadrata ponaosob.

$$\text{Sada je } V_0 = \frac{1}{4\pi\epsilon_0} \frac{10 \cdot Q_1}{a} = 200 \text{ [V].}$$

**b)** Analogno prethodnom zadatku, rad sile električnog polja pri premeštanju tačkastog nanelektrisanja  $Q_2$  iz beskonačnosti u centar kvadrata, pretvara se u promenu kinetičke energije uljne kapljice.

$$A = Q_2(V_\infty - V_0) = \frac{1}{2}m(v_0^2 - v_\infty^2).$$

Kako je  $V_\infty = 0$  i  $v_\infty = 0$ , jer kapljica kreće iz stanja mirovanja, dobija se

$$-Q_2V_0 = \frac{1}{2}mv_0^2, \text{ gde je } v_0 \text{ brzina kapljice u centru kvadrata.}$$

$$\text{Konačno dobijamo: } v_0 = \sqrt{\frac{2|Q_2|V_0}{m}} = 10^{-2} \text{ [m/s].}$$

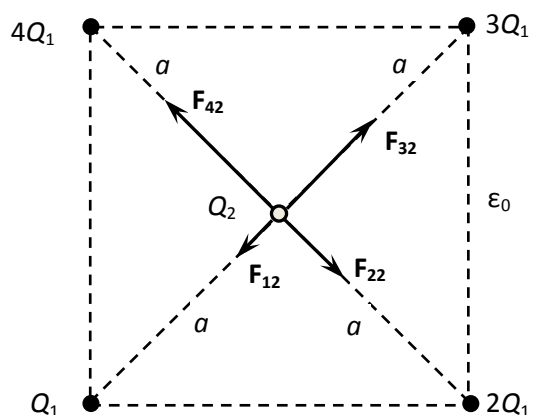
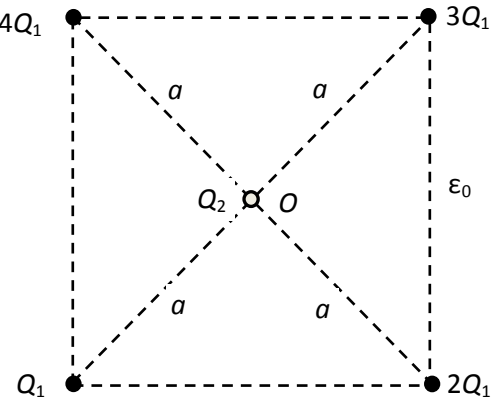
**c)** Rezultantna Kulonova sila koja deluje na kapljicu u centru kvadrata određuje se vektorskim sabiranjem sile kojima nanelektrisanja u temenima kvadrata deluju na kapljicu. Kako su nelektrisana u temenima kvadrata pozitivna, a uljna kapljica negativno nanelektrisana, to su sve 4 sile privlačne, sa pravcima i smerovima kao na slici.

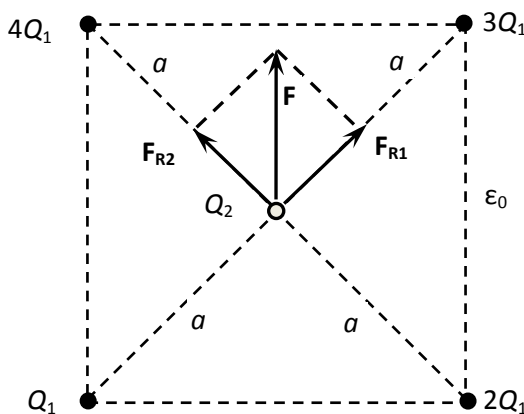
Intenziteti ovih sile su:

$$F_{12} = \frac{1}{4\pi\epsilon_0} \cdot \frac{Q_1 \cdot |Q_2|}{a^2}, F_{22} = \frac{1}{4\pi\epsilon_0} \cdot \frac{2Q_1 \cdot |Q_2|}{a^2},$$

$$F_{32} = \frac{1}{4\pi\epsilon_0} \cdot \frac{3Q_1 \cdot |Q_2|}{a^2}, F_{42} = \frac{1}{4\pi\epsilon_0} \cdot \frac{4Q_1 \cdot |Q_2|}{a^2}.$$

Ako vektorski saberemo sile duž dijagonala kvadrata dobijamo





$$F_{R1} = F_{32} - F_{12} = \frac{1}{4\pi\epsilon_0} \cdot \frac{2Q_1 \cdot |Q_2|}{a^2} \text{ i}$$

$F_{R2} = F_{42} - F_{22} = \frac{1}{4\pi\epsilon_0} \cdot \frac{2Q_1 \cdot |Q_2|}{a^2}$  sa pravcima i smerovima kao na slici.

Očigledno je  $F_{R1} = F_{R2}$  pa je intenzitet rezultujuće sile

$$F = \sqrt{2} \cdot F_{R1} = \sqrt{2} \cdot \frac{1}{4\pi\epsilon_0} \cdot \frac{2Q_1 \cdot |Q_2|}{a^2}, \text{ odnosno}$$

$$F = \frac{1}{\sqrt{2}\pi\epsilon_0} \cdot \frac{Q_1 \cdot |Q_2|}{a^2} = 125.7[\text{nN}] \text{ sa pravcem i smerom kao na slici.}$$

**Gausov zakon (integralni oblik):** Izlazni fluks vektora jačine električnog polja u vakuumu, kroz bilo koju zatvorenu površ  $S$  jednak je količniku ukupne količine elektriciteta  $\Sigma Q$  obuhvaćene tom površi i dielektrične konstante vakuma  $\epsilon_0$ . Veličina tog fluksa ne zavisi od usvojenog oblika površi i položaja njome obuhvaćenih nanelektrisanja.

$$\oint_S \mathbf{E} \cdot d\mathbf{S} = \frac{\Sigma Q}{\epsilon_0}$$

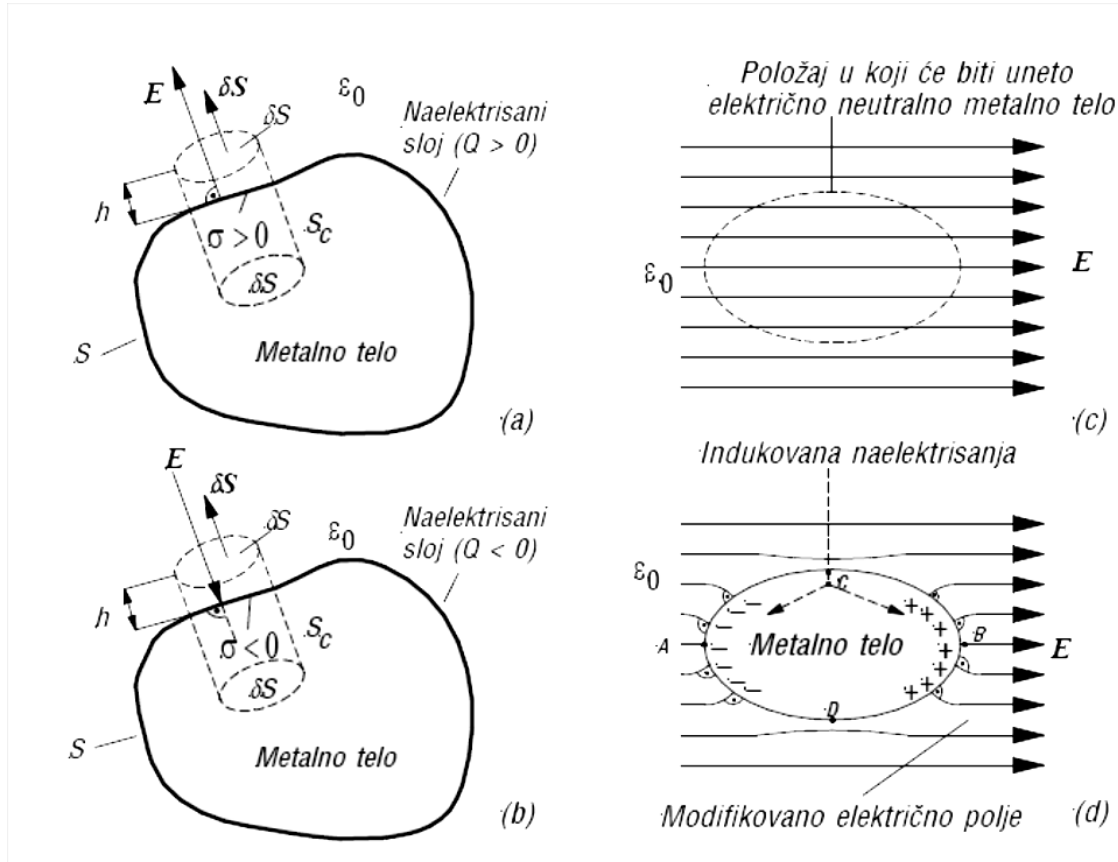
**Gausov zakon (lokalni, ili diferencijalni oblik):**  $\operatorname{div} \mathbf{E} = \rho / \epsilon_0$ .

Iz lokalnog oblika Gausovog zakona zaključuje se da linije električnog polja izviru iz tačaka u kojima je zapreminska gustina nanelektrisanja  $\rho > 0$  ( $\Leftrightarrow \operatorname{div} \mathbf{E} > 0$ ), a da poniru u tačkama gde je ta gustina  $\rho < 0$  ( $\Leftrightarrow \operatorname{div} \mathbf{E} < 0$ ). Izvori i ponori su tačke prekida linija električnog polja. Ako je u nekoj tački polja  $\rho = 0$  ( $\Leftrightarrow \operatorname{div} \mathbf{E} = 0$ ), u njoj je linija polja neprekidna.

**Principi raspodele opterećenja na metalnim (provodnim) telima:** Kod metalnih tela (provodnika) u stanju elektrostatičke ravnoteže, nanelektrisanja se uvek raspoređuju na površima tih tela u skladu sa sledeća četiri principa:

- U unutrašnjosti provodnog tela ne postoji elektrostatičko polje, kao ni slobodno nanelektrisanje.
- Ne postoji tangencijalna komponenta vektora jačine elektrostatičkog polja na površini tela, već samo normalna komponenta.
- Površina provodnog tela ili sistema provodnih tela spojenih provodnikom je ekvipotencijalna površ.
- Nanelektrisanja se na površima raspoređuju tako da je energija resultantnog elektrostatičkog polja minimalna (Tomsonova teorema).

Sada ćemo pomoći Gausovog zakona odrediti intenzitet **električnog polja na površi metalnog tela u vakuumu** kod koga je poznata raspodela površinske gustine nanelektrisanja  $\sigma$  (sl. 1a i 1b).



Sl. 1

Neka je  $S_c$  izabrana cilindrična Gausova površ sa osnovicom vrlo male površine  $\delta S$  i izvodnicom upravnom na graničnu površ  $S$  tela, čiji deo dužine  $h$  koji se nalazi u vakuumu, u graničnom procesu teži nuli ( $h \rightarrow 0$ ). Iz Gausovog zakona tada sledi:

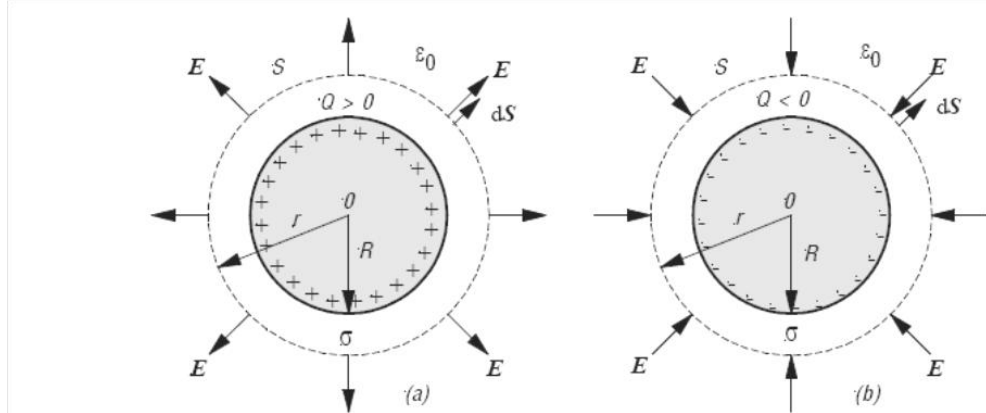
$$\lim_{h \rightarrow 0} \oint_{S_c} \mathbf{E} \cdot d\mathbf{S} = \begin{cases} +E \cdot \delta S, & \text{kada je } \sigma > 0 \\ -E \cdot \delta S, & \text{kada je } \sigma < 0 \end{cases} = \frac{\sigma \cdot \delta S}{\epsilon_0}$$

Iz prethodne relacije sledi da je u oba slučaja jačina električnog polja  $E$  u vakuumu u tačkama na graničnoj površi metalnog tela određena kao  $E = |\sigma| / \epsilon_0$ .

**Elektrostatička indukcija.** Posmatrajmo *usamljeno, električno neutralno* metalno telo proizvoljnog oblika (na sl. 1c prikazano crtkastim linijama), koje je uneto u homogeno električno polje  $\mathbf{E}$  u vakuumu (sl. 1d) ili bilo kojem idealnom dielektriku. Posle unošenja posmatrano telo i dalje ostaje električno neutralno, ali usled elektrostatičke indukcije u njemu dolazi do razdvajanja opterećenja koja se *neravnomerno raspoređuju po površi tela*. Površinska gustina *indukovanih opterećenja*  $\sigma_i$  takva je da indukovano polje  $\mathbf{E}_i$  koje ona stvaraju u *metalnom telu* uvek poništava spoljašnje (strano) polje  $\mathbf{E}$  (tj.  $\mathbf{E} + \mathbf{E}_i = \mathbf{0}$ ). *Rezultujuće polje izvan tela dobija se superpozicijom polja  $\mathbf{E}$  i  $\mathbf{E}_i$ , usled čega se modifikuje spektar spoljašnjeg polja  $\mathbf{E}$*  (sl. 1d). Tangencijalna komponenta polja na površi tela ne postoji.

**Električno polje i potencijal usamljene nanelektrisane metalne sfere u vakuumu**

Na sl. 2a i 2b prikazane su usamljene metalne sfere poluprečnika  $R$  koje se nalaze u vakuumu i nanelektrisane su količinama elektriciteta  $Q>0$ , odnosno  $Q<0$ , respektivno. Zbog sferne simetrije sistema, elektricitet se u oba slučaja raspoređuje po površinama sfera *ravnomerno* sa površinskom gustinom nanelektrisanja  $\sigma=Q/(4\pi R^2)$ . Električno polje ne postoji unutar sfera, a izvan njih ono je zbog sferne simetrije sistema *radijalnog* karaktera. Neka je  $S$  sferna Gausova površ poluprečnika  $r \geq R$  koncentrična sa datom sferom i orientisana prema spoljašnosti.



Sl. 2

Pošto su u svakoj tački površi  $S$  vektori  $E$  i  $dS$  istog pravca i smera (sl. 2a), fluks električnog polja  $E$  kroz površ  $S$  i njegov intenzitet  $E=|E|$  u tačkama na toj površi su:

$$\oint_S E \cdot dS = \oint_S E \cdot dS = E \oint_S dS = E \cdot 4\pi R^2 = \frac{Q}{\epsilon_0}, \text{ te je } E = \frac{1}{4\pi\epsilon_0} \frac{Q}{r^2} = \frac{\sigma}{\epsilon_0} \left( \frac{R}{r} \right)^2, r \geq R.$$

Zaključuje se da je električno polje u vakuumu  $E = Q/(4\pi\epsilon_0 \cdot r^2) \mathbf{r}_0$ ,  $r \geq R$ , isto kao da ga generiše usamljeno punktualno nanelektrisanje  $Q$  postavljeno u centar sfere.

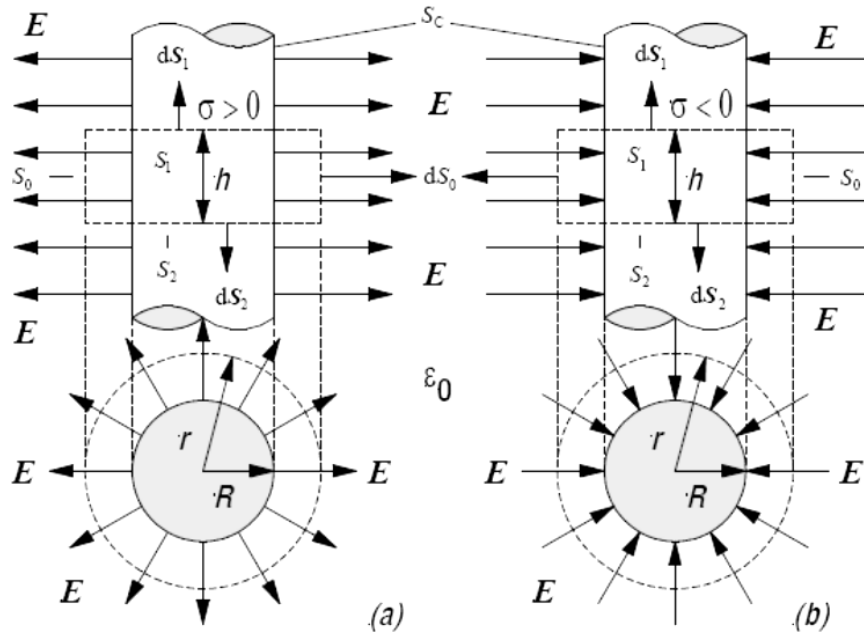
Potencijal tačke  $X$  sa vektorom položaja  $\mathbf{r}_X$  u odnosu na centar sfere ( $r_X = |\mathbf{r}_X| \geq R$ ) i referentnu tačku usvojenu u beskonačnosti, dat je izrazom:

$$V_X = \int_X^\infty E \cdot dr = \frac{Q}{4\pi\epsilon_0} \int_X^\infty \frac{dr}{r^2} = \frac{Q}{4\pi\epsilon_0} \left( -\frac{1}{r} \right) \Big|_X^\infty = \frac{Q}{4\pi\epsilon_0} \left( \frac{1}{r_X} - \frac{1}{\infty} \right) = \frac{Q}{4\pi\epsilon_0} \frac{1}{r_X} = \frac{\sigma}{\epsilon_0} \frac{R^2}{r_X}, r_X \geq R$$

**Električno polje i potencijal usamljenog neograničenog metalnog cilindra u vakuumu kružnog preseka nanelektrisanog konstantnom podužnom gustinom elektriciteta  $Q'$ .**

Na sl. 5a i 5b prikazan je nanelektrisan metalni cilindar kružnog poprečnog preseka zajedno sa linijama električnog polja, u slučajevim kada je  $Q'$  pozitivno i kada je  $Q'$  negativno, respektivno. U unutrašnjosti cilindra ne postoji električno polje, dok u vakuumu linije tog polja moraju biti upravne na graničnu površ  $S_c$  cilindra. Posledica aksijalne simetrije sistema jeste i aksijalna simetričnost linija električnog polja. Tada se Gausova površ  $S_0 \cup S_1 \cup S_2$  može usvojiti u obliku koaksijalnog cilindra kružne osnovice poluprečnika  $r$  ( $r \geq R$ ) i visine  $h$ .

Primenom Gausovog zakona na cilindar prikazan na sl. 5a ( $Q' > 0$ ) dobija se



Sl. 5

$$\oint_{S_0 \cup S_1 \cup S_2} \mathbf{E} \cdot d\mathbf{S} = \int_{S_0} \mathbf{E} \cdot d\mathbf{S},$$

pošto su fluksevi vektora  $\mathbf{E}$  kroz osnovice cilindra, površi  $S_1$  i  $S_2$  jednaki nuli, jer su vektori  $\mathbf{E}$  i  $d\mathbf{S}$  međusobno upravni na ovim površima.

$$\int_{S_0} \mathbf{E} \cdot d\mathbf{S} = \int_{S_0} E \cdot dS_0 = E \int_{S_0} dS_0 = ES_0 = E \cdot 2\pi rh = \frac{Q' h}{\epsilon_0} \Rightarrow E = \begin{cases} \frac{Q'}{2\pi\epsilon_0} \frac{1}{r}, & r \geq R \\ 0, & r < R \end{cases},$$

jer u unutrašnjosti metalnog cilindra nema električnog polja.

Potencijal *bilo koje tačke X* na omotaču neograničene cilindrične površi kružnog preseka i radijusa  $r_X$ , koaksijalne sa metalnim cilindrom – u slučaju kada se *referentna tačka* (npr.  $Y$ ) nalazi na rastojanju  $r_Y \geq r_X$  od ose cilindra – određen je u oba slučaja sa sl. 5a i 5b izrazima:

$$V_X = \int_X^Y \mathbf{E} \cdot d\mathbf{r} = \frac{Q'}{2\pi\epsilon_0} \int_{r_X}^{r_Y} \frac{dr}{r} = \frac{Q'}{2\pi\epsilon_0} \ln \frac{r_Y}{r_X}, \quad r_X \geq R$$

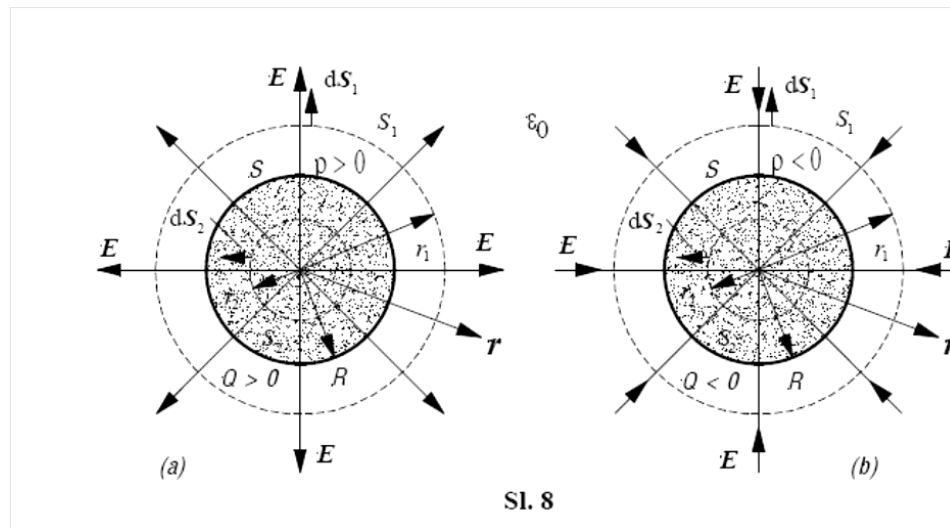
$$V_X = \frac{Q'}{2\pi\epsilon_0} \ln \frac{r_Y}{R}, \quad r_X < R.$$

Iz prethodnih relacija zaključujemo da se referentna tačka  $Y$  ne može nalaziti u beskonačnosti, jer bi tada  $r_Y \rightarrow \infty$ , pa bi i potencijal težio beskonačnosti, što je fizički absurdno.

Jačina polja i potencijal u odnosu na referentnu tačku na površini štapa ( $r_Y = R$ ) su onda:

$$E = \begin{cases} \frac{Q'}{2\pi\epsilon_0} \frac{1}{r}, & r \geq R \\ 0, & r < R \end{cases}, \quad V = \begin{cases} \frac{Q'}{2\pi\epsilon_0} \ln \frac{R}{r}, & r \geq R \\ 0, & r < R \end{cases}.$$

**Električno polje i potencijal usamljenog sfernog domena** (sačinjenog od dielektričnog materijala) u vakuumu homogeno naelektrisanog zapreminskom gustinom elektriciteta  $\rho$ .



Prepostavimo da je naelektrisanje  $Q$  homogeno raspoređeno (sl. 8) unutar sferne površi poluprečnika  $R$  sa konstantnom zapreminskom gustinom elektriciteta  $\rho = \frac{Q}{(4/3)\pi R^3}$ .

Za tačke unutar domena,  $r \leq R$ , primenom Gausovog zakona  $\oint_S \mathbf{E} \cdot d\mathbf{S} = \frac{Q}{\epsilon_0}$  sledi

$$\oint_S \mathbf{E}(r) \cdot d\mathbf{S} = \frac{Q}{\epsilon_0}, \text{ jer su vektori } \mathbf{E} \text{ i } d\mathbf{S} \text{ kolinearni na površi sfere poluprečnika } r.$$

$$\text{Leva strana Gausovog zakona je onda: } \oint_S \mathbf{E}(r) \cdot d\mathbf{S} = \mathbf{E}(r) \cdot \oint_S d\mathbf{S} = \mathbf{E}(r) \cdot 4\pi r^2.$$

Gausovom sferom poluprečnika  $r$  obuhvaćena je količina naelektrisanja  $Q(r) = \rho \cdot \frac{4}{3}\pi r^3$ , pa iz

$$\oint_S \mathbf{E} \cdot d\mathbf{S} = \frac{Q}{\epsilon_0} \quad \text{sledi } \mathbf{E}(r) \cdot 4\pi r^2 = \frac{1}{\epsilon_0} \rho \cdot \frac{4}{3}\pi r^3, \text{ tj. } \mathbf{E}(r) = \frac{\rho}{3\epsilon_0} r, \quad r < R.$$

Za tačke izvan sfernog domena,  $r > R$ , analognim postupkom se dobija:

$$\oint_S \mathbf{E} \cdot d\mathbf{S} = \frac{Q}{\epsilon_0} \Rightarrow \mathbf{E} \cdot 4\pi r^2 = \frac{1}{\epsilon_0} \rho \cdot \frac{4}{3}\pi R^3 \Rightarrow \mathbf{E}(r) = \frac{\rho}{3\epsilon_0} \frac{R^3}{r^2}, \quad r > R.$$

Linijskom integracijom vektora jačine polja po putanji kolinearnoj vektoru  $\mathbf{E}$  za potencijal tačaka unutar sfernog domena,  $r \leq R$ , dobija se:

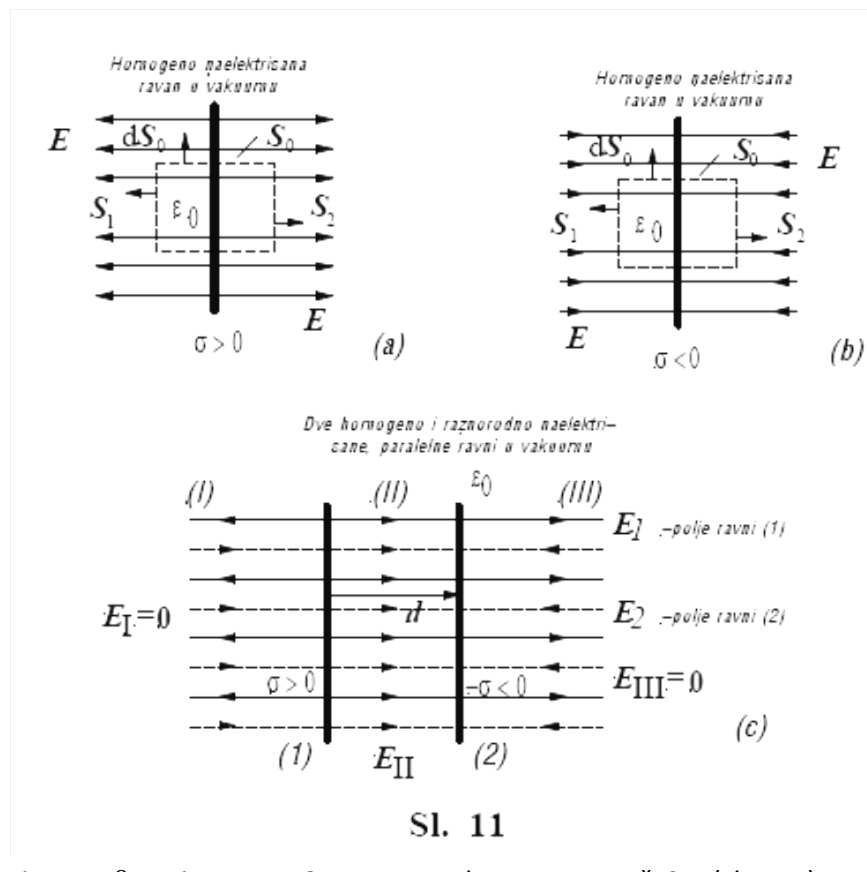
$$V(r) = \int_r^R \mathbf{E} \cdot d\mathbf{r} = \int_r^R \mathbf{E} \cdot d\mathbf{r} + \int_R^\infty \mathbf{E} \cdot d\mathbf{r}, \text{ odnosno } V(r) = \int_r^R \mathbf{E} \cdot d\mathbf{r} + \int_R^\infty \mathbf{E} \cdot d\mathbf{r} = \frac{\rho}{3\epsilon_0} \int_r^R r \cdot dr + \frac{\rho R^3}{3\epsilon_0} \int_R^\infty \frac{dr}{r^2}$$

$$V(r) = \frac{\rho}{3\epsilon_0} \frac{r^2}{2} \Big|_r^R + \frac{\rho R^3}{3\epsilon_0} \left( -\frac{1}{r} \right) \Big|_R^\infty = \frac{\rho}{3\epsilon_0} \left( \frac{R^2}{2} - \frac{r^2}{2} \right) + \frac{\rho R^3}{3\epsilon_0} \left( \frac{1}{R} \right) = \frac{\rho}{6\epsilon_0} (3R^2 - r^2), \quad r \leq R.$$

$$V(r) = \int_r^\infty \mathbf{E} \cdot d\mathbf{r} = \frac{\rho R^3}{3\epsilon_0} \int_r^\infty \frac{dr}{r^2} = \frac{\rho R^3}{3\epsilon_0} \left( -\frac{1}{r} \right) \Big|_r^\infty = \frac{\rho R^3}{3\epsilon_0} \frac{1}{r}, \quad r > R.$$

### **Električno polje homogeno nanelektrisanih ravnih u vakuumu**

Linije električnog polja usamljenih homogeno nanelektrisanih ravnih u vakuumu (sl. 11a i 11b) moraju biti normalne na te ravni, odakle se zaključuje da svaka od ravnih predstavlja jednu ekvipotencijalnu površ. Na sl. 11a i 11b crtkastim linijama predstavljene su *cilindrične* površi  $S_C = S_0 \cup S_1 \cup S_2$  sa osnovicama jednakih površina  $S=S_1=S_2$  i izvodnicama konačne dužine, koje su paralelne linijama polja i upravne na odgovarajuću nanelektrisanu ravan. Intenzitet električnog polja  $E$  isti je u svim tačkama na osnovicama cilindara, tj.  $E=E_1=E_2$ . Pošto su vektorski elementi  $d\mathbf{S}_0$  površi omotača  $S_0$  cilindra upravni na linije električnog polja, to je *fluks* polja kroz taj omotač nula.



Sl. 11

U slučaju kada je  $\sigma > 0$ , primenom Gausovog zakona na površ  $S_C$  (sl. 11a), pokazuje se da je intenzitet električnog polja  $E$  ove nanelektrisane ravnih isti u svim tačkama polja:

$$\oint_{S_C} \mathbf{E} \cdot d\mathbf{S} = \underbrace{\int_{S_0} \mathbf{E} \cdot d\mathbf{S}_0}_{=0} + \int_{S_1} \mathbf{E} \cdot d\mathbf{S}_1 + \int_{S_2} \mathbf{E} \cdot d\mathbf{S}_2 = \int_{S_1} \mathbf{E} \cdot d\mathbf{S}_1 + \int_{S_2} \mathbf{E} \cdot d\mathbf{S}_2$$

$$\oint_{S_C} \mathbf{E} \cdot d\mathbf{S} = \int_{S_1} \mathbf{E} \cdot d\mathbf{S}_1 + \int_{S_2} \mathbf{E} \cdot d\mathbf{S}_2 = E_1 S_1 + E_2 S_2 = 2ES = \frac{\sigma S}{\epsilon_0}, \text{ pa je polje nanelektrisane ravnih:}$$

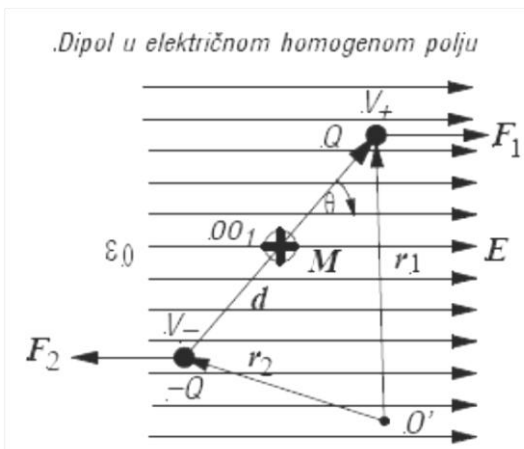
$$E = \frac{\sigma}{2\epsilon_0}, \text{ sa pravcem i smerom kao na slikama 11.a i 11.b.}$$

Za *homogeno i raznorodno* nanelektrisane paralelne ravni (1) i (2) u vakuumu (sl. 11c) sa površinskim gustinama nanelektrisanja  $\pm\sigma$ , na osnovu principa superpozicije zaključujemo da se polja tih ravnih poništavaju u oblastima I i III, tj. da je  $E_I = E_{III} = 0$ , dok je u oblasti II rezultantno polje

homogeno i orijentisano od pozitivno prema negativno nanelektrisanoj ravni. Intenzitet polja u oblasti II je  $E_{II}=2E=\sigma/\epsilon_0$ .

Neka je  $d$  normalno rastojanje između homogeno nanelektrisanih paralelnih ravni (1) i (2) na potencijalima  $V_1$  i  $V_2$  (sl. 11c). Napon između ovih ravni je  $U_{12}=V_1-V_2=E_{II}\cdot d$ . Dakle, intenzitet *homogenog* električnog polja  $E_{II}$  jednak je količniku napona i rastojanja između ravni.

**Električni dipol** je sistem od dva punktualna nanelektrisanja  $Q$  ( $Q > 0$ ) i  $-Q$  koja se nalaze na rastojanju  $d$ . Dipol karakteriše električni moment  $\mathbf{p}=Q\cdot\mathbf{d}$ , gde je  $\mathbf{d}$  vektor položaja pozitivnog nanelektrisanja  $Q$  u odnosu na negativno  $-Q$ .



Kulonove sile koje deluju na nanelektrisanja  $Q$  i  $-Q$  redom su  $\mathbf{F}_1=Q\cdot\mathbf{E}$  i  $\mathbf{F}_2=-Q\cdot\mathbf{E}$ , a njihovi momenti u odnosu na bilo koju tačku  $O'$  u polju su  $\mathbf{M}_1=Q(\mathbf{r}_1\times\mathbf{E})$  i  $\mathbf{M}_2=-Q(\mathbf{r}_2\times\mathbf{E})$ . Kako je  $\mathbf{F}_1+\mathbf{F}_2=\mathbf{0}$  i  $\mathbf{M}=\mathbf{M}_1+\mathbf{M}_2=Q\cdot(\mathbf{r}_1-\mathbf{r}_2)\times\mathbf{E}=Q\cdot\mathbf{d}\times\mathbf{E}=\mathbf{p}\times\mathbf{E}$ , to je  $M=|\mathbf{M}|=p\cdot E \cdot \sin\theta$ , gde je  $p=|\mathbf{p}|=Q\cdot d$ . Odatle se zaključuje da ako se dipol nađe u stranom *homogenom* električnom polju  $\mathbf{E}$  na njega neće delovati nikakva mehanička sila, ali će se pojaviti mehanički moment  $\mathbf{M}=\mathbf{p}\times\mathbf{E}$  koji teži da dipol postavi u pravcu i smeru polja.

Međutim, ako je dipol u stranom *nehomogenom* električnom polju  $\mathbf{E}$  na njega pored mehaničkog momenta deluje i električna sila.

### Električna kapacitivnost metalnih provodnika u vakuumu

Kada se posmatra usamljeno metalno telo u vakuumu nanelektrisano količinom elektriciteta  $Q$ , tada znamo da u njemu ne postoji električno polje, a da je u tačkama na njegovoj površi polje upravno na tu površ i da ima intenzitet  $E=|\sigma|/\epsilon_0$ . Sve tačke tela pripadaju ekvipotencijalnoj površi potencijala  $V$ .

Pozitivna veličina  $C=Q/V$ , koja ne zavisi ni od  $Q$ , ni od  $V$ , već jedino od oblika i dimenzija tela, zove se **električna kapacitivnost** tela. Jedinica za *kapacitivnost* je *Farad* [F]. Kada se nanelektrisano metalno telo nalazi u dielektriku, njegova kapacitivnost zavisi i od osobina dielektrika.

Sistem od dva provodna (metalna) tela nanelektrisana jednakim količinama nanelektrisanja suprotnog znaka naziva se **električni kondenzator**. Metalna tela se nazivaju obloge ili elektrode kondenzatora i mogu se nalaziti u vakuumu ili nekom drugom dielektriku.

**Električna kapacitivnost kondenzatora** definiše se kao:

$$C = \frac{Q}{U} = \frac{Q}{V_1 - V_2} = \frac{Q}{\int_{x_1}^{x_2} \mathbf{E} \cdot d\mathbf{l}}$$

Kod kondenzatora sa elektrodama jednostavne geometrije (pločasti, sferski i cilindrični – najčešće se sreću u praksi), kapacitivnost je moguće odrediti analitičkim putem.